

Итак, результаты данной работы свидетельствуют о том, что термоЭЦКлирование с  $T_{\min} = 77$  К или даже однократное охлаждение до 20 К генерирует в TiGaSe<sub>2</sub> долгоживущие метастабильные состояния, наличие которых приводит, в частности, к «стиранию» ФП при  $T \sim 250$  К. Природа таких состояний, по-видимому, связана с разупорядочением структуры, главным образом с нарушением периодичности упаковки слоевых пакетов вдоль оси  $c$ .

### Список литературы

- [1] Алиев Р. А., Аллахвердиев К. Р., Баранов А. И. и др. // ФТТ. 1984. Т. 26. № 5. С. 1271—1276.
- [2] Allakhverdiev K. R., Aldganov M. A., Mamedov T. G., Salaev E. Yu. // Sol. State Comm. 1986. V. 58. P. 295—297.
- [3] Волков А. А., Гончаров Ю. Г., Козлов Г. В., Сардарлы Р. М. // Письма в ЖЭТФ. 1984. Т. 39. № 7. С. 293—295.
- [4] Мамедов Н. Т., Крупников Е. С., Панич А. М. // ФТТ. 1989. Т. 39. № 1. С. 290—292.
- [5] Гололобов Ю. П., Шило С. А., Юрченко И. А. // УФЖ. 1990. Т. 35. № 11. С. 1721—1724.
- [6] Алиев В. А. // Кристаллография. 1990. Т. 35. № 2. С. 506—507.
- [7] Bortchagovski E. G., Lozovski V. Z., Shilo S. A., Yurchenko I. A. // Physica (C). Superconductivity. 1990. V. 165. P. 308—314.
- [8] Беляев А. Д., Байса Д. Ф., Бондарь А. В. и др. // УФЖ. 1975. Т. 20. № 10. С. 1744—1746.
- [9] Струков Б. А. // Изв. АН СССР, сер. физ. 1987. Т. 51. № 10. С. 1717—1725.
- [10] Крупников Е. С., Алиев Ф. Ю., Мамедов Н. Т. // Изв. АН СССР, неорг. матер. 1989. Т. 25. № 11. С. 1866—1868.
- [11] Волков А. А., Гончаров Ю. Г., Козлов Г. В. и др. // ФТТ. 1988. Т. 30. № 12. С. 3621—3628.
- [12] Абиров А. К., Бахышов Н. А., Бахышов А. Э., Гаджиев М. С. // Изв. вузов, сер. физ. 1989. № 12. С. 84—86.
- [13] Жигадло Н. Д., Зарецкий В. В. // Письма в ЖЭТФ. 1989. Т. 49. № 9. С. 498—500.

Институт полупроводников АН Украины  
Киев

Поступило в Редакцию  
18 декабря 1990 г.  
В окончательной редакции  
17 апреля 1991 г.

УДК 539.2

© Физика твердого тела, том 33, № 9, 1991  
Solid State Physics, vol. 33, N 9, 1991

## ВЫЗВАННЫЕ ВОДОРОДОМ СВОБОДНЫЕ СОСТОЯНИЯ В ЗОНЕ ПРОВОДИМОСТИ PdH: АНАЛИЗ РЕНТГЕНОВСКОГО ПОГЛОЩЕНИЯ

A. B. Солдатов, T. C. Иванченко, A. Бианкони

Электронная структура гидридов металлов, в частности палладия, интенсивно изучается последнее десятилетие [1]. На основании многочисленных зонных расчетов (например, [2]) и данных рентгеновской фотозеиссии [3] были исследованы особенности формирования валентной зоны системы PdH<sub>x</sub>. Оказалось, что при проникновении водорода в металлический палладий в области около 5 эВ ниже уровня Ферми появляются гибридизованные связывающие Pd—H состояния.

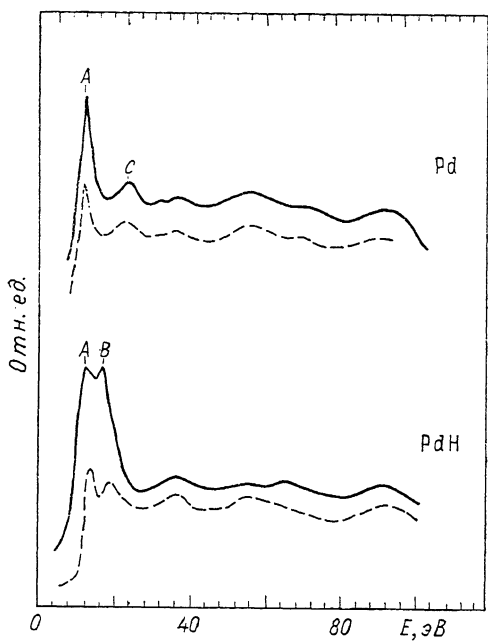
В то же время свободные состояния в зоне проводимости изучены значительно слабее. В оптических спектрах [4] была обнаружена особенность в районе  $\sim 4$  эВ выше уровня Ферми. Однако до появления метода анализа ближней тонкой структуры рентгеновского поглощения (БТСРП, международный термин XANES) [5] не существовало удобного

инструмента для исследования распределения свободных состояний определенной симметрии.

Рентгеновские  $L$ -спектры поглощения палладия были получены в спин-хронном центре г. Фраскати (Италия) в условиях, аналогичных описанным в [6]. Алгоритм расчета методом полного многократного рассеяния приведен в [7], причем следует отметить, что до настоящего времени расчеты БТСРП  $L$ -серии в соединениях методом полного многократного рассеяния практически отсутствуют [5].

Поэтому приведем основные параметры расчета. Кристаллическая решетка ГЦК с параметром  $a=3.890 \text{ \AA}$  (Pd) и NaCl с  $a=4.090 \text{ \AA}$  (PdH). Кристаллический потенциал строился в muffin-tin виде с обменным параметром  $\alpha=1.0$  из атомных плотностей, рассчитанных самосогласованным методом Дирака—Слейтера. Кластеры для металлического палладия со-

держат до 4 сфер (полное число атомов 55), а для случая PdH — 6 сфер (число атомов 81). Для непосредственного сопоставления результатов расчета с экспериментом мы учитывали распределение Ферми и уширение экспериментального спектра за счет конечного времени жизни оставной дырки ( $\Gamma=2.1 \text{ эВ}$  [8]), длины свободного пробега фотоэлектрона (функция из [8]) и аппаратурной функции (разрешение 1.2 эВ).



Совмещенные теоретические (сплошные линии) и экспериментальные (штриховые линии) БТСРП  $L_3$  края Pd в металлическом палладии и PdH.

Масштаб шкалы энергий для спектров металла (сверху) отличается от шкалы для PdH.

На рисунке приведены совмещенные в единой шкале теоретические и экспериментальные спектры рентгеновского поглощения в металлическом палладии и PdH. Чтобы не принимать во внимание различия в спектрах, связанных с разницей в параметрах решетки, мы в соответствии с правилом  $1/R^2$  [5] провели масштабирование спектра металла с множителем, равным отношению квадратов параметров решетки в металле и в гидриде (0.904).

Хорошее согласие расчетных результатов с экспериментом (отметим, что наши экспериментальные данные близки к полученным в [6]) позволяет сделать вывод о реалистичности использованных в расчете подходов и о правомерности применения результатов расчета к анализу экспериментальных  $L$ -спектров поглощения. (В частности, подтвержден вывод о малости влияния многоэлектронных возбуждений на  $L_3$ -спектры палладия [9]). После масштабирования энергетической шкалы спектра металлического палладия единственным, но существенным отличием спектра в гидриде являются исчезновение максимума  $C$  и появление резкого пика  $B$ . Причиной этих изменений в БТСРП Pd являются процессы многократного рассеяния фотоэлектрона при обязательном участии атомов водорода (*a priori* — это не очевидно из-за того, что атомы водорода являются слабо рассеивающими центрами).

Чтобы проверить, не есть ли отмеченные выше изменения в БТСРП следствием простого увеличения межатомных расстояний Pd—Pd при

переходе к PdH, мы провели расчет модельного кластера. В нем (с полным сохранением симметрии) атомы палладия находились в тех же позициях, что и в PdH, а водородная подрешетка отсутствовала. БТСРП, рассчитанная в таком кластере, оказалась точной копией БТСРП металлического Pd с измененным (в 0.904 раза в полном соответствии с правилом  $\langle 1/R^2 \rangle$ ) масштабом энергетической шкалы. И только при «включении» в расчет подрешетки атомов водорода (хотя бы одной сферы) происходят исчезновение максимума  $C$  и одновременное появление вблизи основного пика максимума  $B$ .

На языке квантовой химии можно сказать, что в зоне проводимости PdH происходит перераспределение плотности состояний палладия (уменьшение в области 19 эВ), а в области выше дна зоны на  $\approx 10$  эВ появляются гибридизованные состояния атомов Pd и H. Присутствие обнаженных ранее [2, 3] связывающих гибридизованных Pd—H состояний ниже уровня Ферми в PdH согласуется с представлениями о несвязующем характере выявленных нами незаполненных электронных состояний в зоне проводимости PdH.

### Список литературы

- [1] Свитендик А. Водород в металлах. М.: Мир, 1981. 436 с.
- [2] Papaconstantopoulos D. A., Klein D. M., Faulkner J. S., Boyer L. L. // Phys. Rev. B. 1978. V. 18. N 6. P. 2784—2791.
- [3] Eastman D. E., Cashion J. K., Switendick A. C. // Phys. Rev. Lett. 1971. V. 21. N 1. P. 35—38.
- [4] Frazier G. A., Glosser R. // Solid State Commun. 1982. V. 41. N 3. P. 245—250.
- [5] Biansoni A. // X-Ray Absorption. N. Y.: J. Wiley and Sons., 1988.
- [6] Davoli I., Marcelli A., Fartunato J. et al. // Solid State Commun. 1989. V. 71. N 5. P. 383—390.
- [7] Vvedensky D. D., Saldin D. K., Pendery J. B. // Comput. Phys. Commun. 1986. V. 40. P. 421—440.
- [8] Muller J. E., Jepsen O., Wilkins J. W. // Solid State Commun. 1982. V. 4. N 5. P. 365—368.
- [9] Benfatto M., Biansoni A., Dawoli I. et al. // Solid State Commun. 1983. V. 46. N 5. P. 367—370.

Ростовский государственный университет  
Ростов-на-Дону

Поступило в Редакцию  
10 декабря 1990 г.  
В окончательной редакции  
18 апреля 1991 г.

УДК 537.632.4

© Физика твердого тела, том 33, № 9, 1991  
Solid State Physics, vol. 33, N 9, 1991

## ВЛИЯНИЕ МАГНИТНОГО ПОЛЯ НА ЭФФЕКТ ФАРАДЕЯ В ОРТОФЕРРИТЕ $YFeO_3$

M. B. Четкин, A. B. Кирюшин, Ю. И. Щербаков

Для выяснения природы эффекта Фарадея (ЭФ) в редкоземельных ортоферритах представляет интерес проведение экспериментов по исследованию полевых зависимостей эффекта. В работе [1] исследована полевая зависимость ЭФ на длине волн  $\lambda=0.63$  мкм в пластине  $YFeO_3$ , вырезанной перпендикулярно оптической оси, при различных ориентациях магнитного поля  $H$  в плоскости  $bc$ . Было показано, что изменение ЭФ определяется проекцией  $H$  на направление света. В работах [2, 3] эти исследования были проведены при  $\lambda=0.63$  мкм и различных ориентациях направления распространения света  $k$  и  $H$  в плоскости  $ac$ . Полученные результаты были связаны с существованием ферро-, антиферро- и диамагнитного вкладов в ЭФ в ортоферритах.